

BIBLIOGRAPHY

- [1] R. Glaser, U. Séquin, Ch. Tamm, L. Henning & R. Guggenheim, *Experientia* 30, (1974), in press.
- [2] M. Laskowski, Sr., "The Enzymes", 3rd ed., Vol. 4, p. 313 (1971).
- [3] A. Bernardi & G. Bernardi, "The Enzymes", 3rd Ed., Vol. 4, p. 329 (1971).
- [4] M. Hoffer, *Chem. Ber.* 93, 2777 (1960).
- [5] H. Schaller, G. Weimann, B. Lerch & H. G. Khorana, *J. Amer. chem. Soc.* 85, 3821 (1963).
- [6] W. Falk & Ch. Tamm, *Helv.* 55, 1928 (1972).
- [7] A. M. Michelson & A. R. Todd, *J. chem. Soc.* 1953, 95; J. P. Horwitz, J. A. Urbanski & J. Chua, *J. org. Chemistry*, 27, 3300 (1962).
- [8] U. Séquin & Ch. Tamm, *Helv.* 55, 1196 (1972).
- [9] P. T. Gilham & H. G. Khorana, *J. Amer. chem. Soc.* 80, 6212 (1958).
- [10] R. Lohrmann & H. G. Khorana, *J. Amer. chem. Soc.* 88, 829 (1966).
- [11] I. Gregor, U. Séquin & Ch. Tamm, unpublished results.
- [12] R. L. Letsinger & K. K. Ogilvie, *J. Amer. chem. Soc.* 91, 3350 (1969).
- [13] N. S. Kondo, H. M. Holmes, L. M. Stempel & P. O. P. Ts'o, *Biochemistry* 9, 3479 (1970).
- [14] J. Sulston, R. Lohrmann, L. E. Orgel & H. T. Miles, *Proc. Nat. Acad. Sci. U.S.* 59, 726 (1968).
- [15] P. S. Miller, K. N. Fang, N. S. Kondo & P. O. P. Ts'o, *J. Amer. chem. Soc.* 93, 6657 (1971).
- [16] M. Ikehara, S. Uesugi & M. Kobayashi, *Chem. Pharm. Bull.* 20, 2394 (1972).
- [17] A. Holý & F. Šorm, *Coll. czechoslov. chem. Commun.* 34, 3383 (1969).
- [18] A. Holý & F. Šorm, *Coll. czechoslov. chem. Commun.* 36, 3282 (1971).
- [19] I. Tazawa, S. Tazawa, L. M. Stempel & P. O. P. Ts'o, *Biochemistry* 9, 3499 (1970).
- [20] H. Pischel & A. Holý, *Coll. czechoslov. chem. Commun.* 34, 89 (1969).
- [21] W. Zürcher, U. Séquin & Ch. Tamm, unpublished results.
- [22] H. Pischel & A. Holý, *Coll. czechoslov. chem. Commun.* 35, 3584 (1970).
- [23] A. Holý, R. W. Bald & F. Šorm, *Coll. czechoslov. chem. Commun.* 37, 592 (1972).
- [24] G. M. Richards, D. J. Tutas, W. J. Wechter & M. Laskowski, Sr., *Biochemistry* 6, 2908 (1967).
- [25] A. Holý, *Coll. czechoslov. chem. Commun.* 38, 100 (1973).
- [26] R. Glaser, U. Séquin & Ch. Tamm, *Helv.* 56, 654 (1973).
- [27] H. G. Khorana & J. P. Vizsolyi, *J. Amer. chem. Soc.* 83, 675 (1961).
- [28] L. R. Melby & D. R. Strobach, *J. org. Chemistry* 34, 421 (1969).

8. Anil-Synthese9. Mitteilung¹⁾**Über die Darstellung von in 4'-Stellung heterocyclisch substituierten 4-(2H-Arenotriazol-2-yl)-stilbenen**

von A. E. Siegrist

Forschungslaboratorien der Division Farbstoffe und Chemikalien,
CIBA-GEIGY AG, Basel

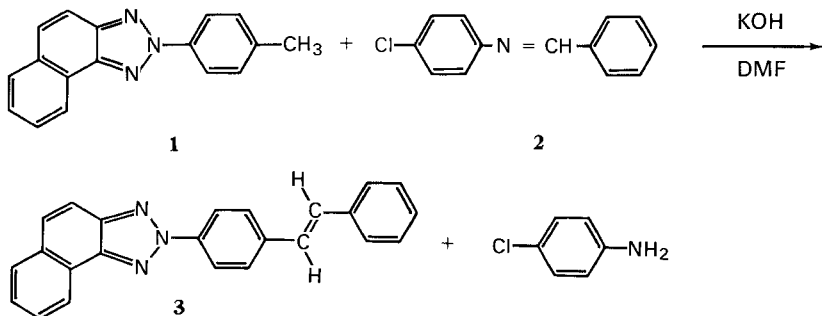
(8. XI. 73)

Zusammenfassung. Durch Umsetzung von Schiff'schen Basen aus 4-(2H-Arenotriazol-2-yl)-benzaldehyden und *p*-Chloranilin mit *p*-tolyl-substituierten Heterocyclen aromatischen Charakters mit mindestens einem Ring-Stickstoffatom können in Dimethylformamid in Gegenwart von Kaliumhydroxid die entsprechenden, in 4'-Stellung heterocyclisch substituierten 4-(2H-Arenotriazol-2-yl)-stilbene dargestellt werden («Anil-Synthese»).

In vorangehenden Arbeiten [2] [3] wurde über die Darstellung von 2-(Stilben-4-yl)-2H-naphtho[1,2-d]triazolen mit Hilfe der «Anil-Synthese» berichtet. So entsteht

¹⁾ 8. Mitt. siehe [1].

zum Beispiel aus 2-(*p*-Tolyl)-2*H*-naphtho[1,2-*d*]triazol (**1**) und der *Schiff*'schen Base aus Benzaldehyd und *p*-Chloranilin **2** in Dimethylformamid (DMF) in Gegenwart von Kaliumhydroxid das 2-(Stilben-4-yl)-2*H*-naphtho[1,2-*d*]triazol (**3**):



Analog können auch 2-(Stilben-4-yl)-2*H*-benzotriazole [2] [4] und 2-(Stilben-4-yl)-7-aryl-benzo[1,2-*d*:3,4-*d'*]bis-triazole [1] aus den entsprechenden 2-(*p*-Tolyl)-2*H*-benzotriazolen, bzw. 2-(*p*-Tolyl)-7-aryl-benzo[1,2-*d*:3,4-*d'*]bis-triazolen gewonnen werden.

Neuerdings sind 2-(Stilben-4-yl)-2*H*-naphtho[1,2-*d*]triazole bekannt geworden, die in 4'-Stellung des Stilbens noch durch einen Benzoxazol-2-yl-Rest weiter substituiert sind. Solche Verbindungen eignen sich als optische Aufheller für Synthesefasern und Kunststoffe [5]–[7] sowie für photographische Zwecke [8]. Es stellt sich nun die Frage, ob diese 4-(2*H*-Naphtho[1,2-*d*]triazol-2-yl)-4'-(benzoxazol-2-yl)-stilbene nicht auch über den Weg der «Anil-Synthese» zugänglich wären.

Erste Versuche, das 4-(2*H*-Naphtho[1,2-*d*]triazol-2-yl)-4'-(benzoxazol-2-yl)-stilben (**6**) ausgehend von 2-(*p*-Tolyl)-2*H*-naphtho[1,2-*d*]triazol (**1**) und der *Schiff*'schen Base aus 4-(Benzoxazol-2-yl)-benzaldehyd und *p*-Chloranilin nach dem oben vorgezeichneten Weg darzustellen, blieben zunächst ohne Erfolg. Eine «Anil-Synthese» konnte jedoch erreicht werden indem anstelle des 2-(*p*-Tolyl)-2*H*-naphtho[1,2-*d*]triazens (**1**) die entsprechende *Schiff*'sche Base aus 4-(2*H*-Naphtho[1,2-*d*]triazol-2-yl)-benzaldehyd und *p*-Chloranilin **4** als die eine Ausgangskomponente und 2-(*p*-Tolyl)-benzoxazol (**5**) als die andere Ausgangskomponente verwendet wurden. In Dimethylformamid und in Gegenwart von Kaliumhydroxid erhält man so das 4-(2*H*-Naphtho[1,2-*d*]triazol-2-yl)-4'-(benzoxazol-2-yl)-stilben (**6**) in guter Ausbeute:

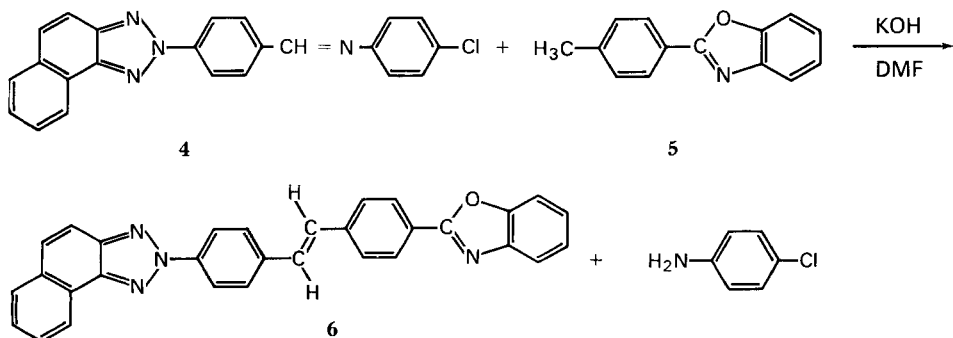
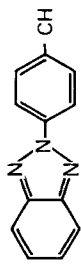
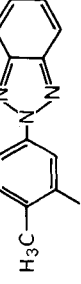
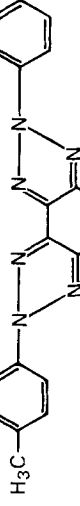
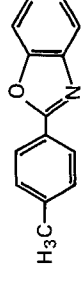
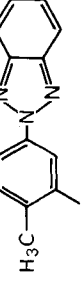
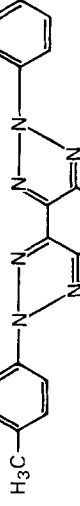
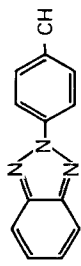
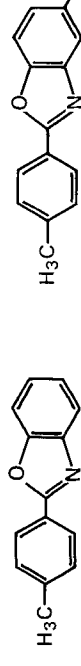
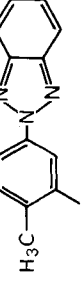
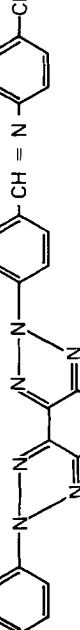
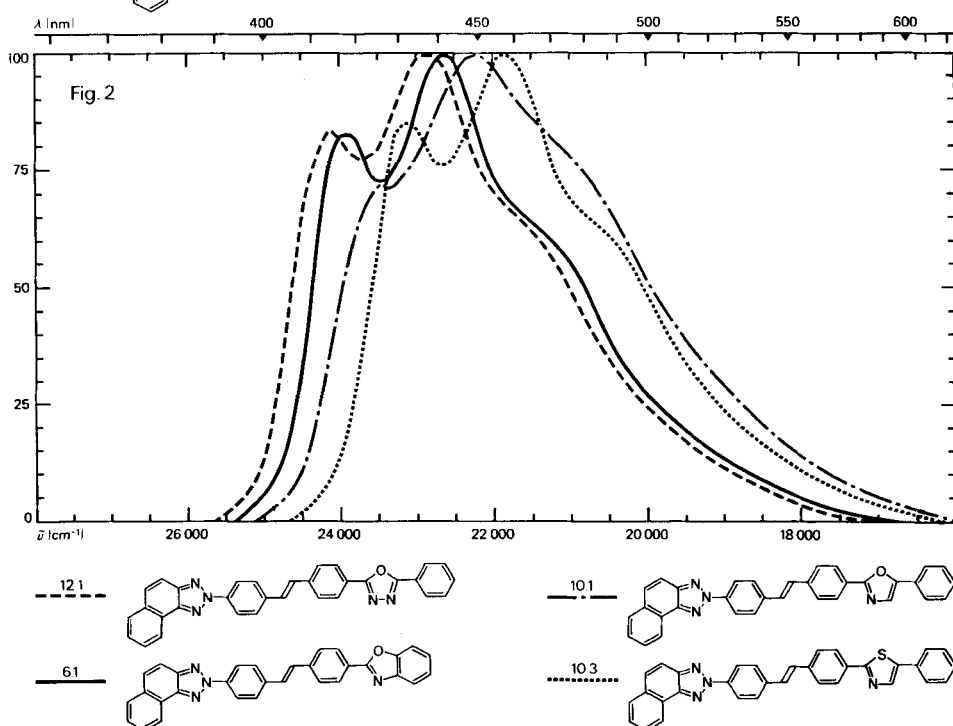
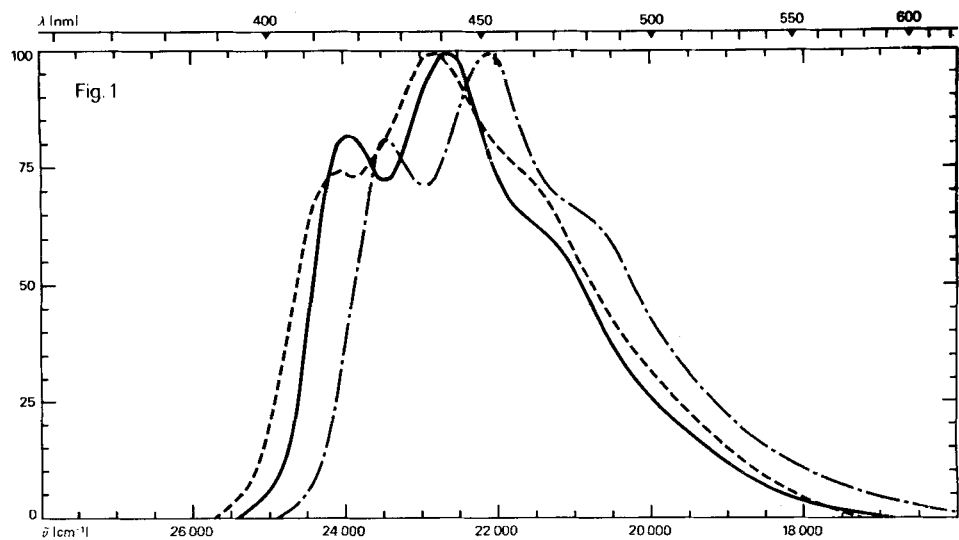


Tabelle 1. *In Stilben-Verbindungen übergeführte Heterocyclen*

<i>Schiff'sche Basen</i>	<i>p-tolyl-substituierte Heterocyclen</i>				
					
					
					



In ähnlicher Weise können die in der Tabelle 1 in der linken Spalte aufgeführten *Schiff'schen* Basen mit den in der rechten Spalte angegebenen *p*-tolylsubstituierten Heterocyclen zu heterocyclisch substituierten Triazolyl-Derivaten des Stilbens umgesetzt werden (s. Herstellungsvorschriften A bis F und Tabellen 1 bis 17).

Von besonderem Interesse sind die Fluoreszenzspektren der dargestellten Verbindungen. In den Figuren 1 und 2 sind die in Dimethylformamid aufgenommenen Fluoreszenzspektren der wichtigsten Grundkörper wiedergegeben, in welchen die relative Intensität in Energie pro Wellenzahl-Intervall gegen die Wellenzahl aufgetragen ist.

Figur 1 zeigt die bathochrome Verschiebung der Fluoreszenzspektren von 1.1 nach 6.1. zu 9.1, hervorgerufen durch das Hinzufügen eines weiteren Benzolringes in 4, 5-Stellung am Benzotriazolyl- bzw. Benzoxazolyl-Rest. Figur 2 veranschaulicht den Einfluss verschiedener heterocyclischer Reste in 4'-Stellung des 4-(2H-Naphtho[1,2-*d*]triazol-2-yl)-stilbens auf die Fluoreszenzspektren.

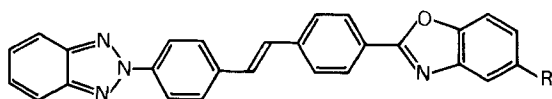
Tabellarische Übersicht der dargestellten Verbindungen

In den Tabellen 1 bis 17 und Z1 bis Z7 bedeuten:

Spalte I	obere Zeile:	Formel-Nummer
	mittlere Zeile:	Herstellungsvorschrift
	untere Zeile:	Zwischenprodukt-Nummer oder Literatur-Hinweis
Spalte II	Variable Strukturelemente	
Spalte III	obere Zeile:	Rohausbeute in %
	untere Zeile:	Ausbeute an analysenreiner Verbindung in %
Spalte IV	obere Zeile:	Farbe des reinen Reaktionsproduktes bezeichnet mit folgenden Zahlen:
	1	farblos
	2	nahezu farblos
	3	blass grünstichig-gelb
	4	hell grünstichig-gelb
	5	grünstichig-gelb
	6	blass-gelb
	7	hellgelb
	8	gelb
	untere Zeile:	Kristallform des Reaktionsproduktes bezeichnet mit folgenden Buchstaben:
	B	Blättchen
	N	Nädelchen
	K	feine Kristalle
Spalte V	obere Zeile:	Smp. (unkorr.) in °C
	untere Zeile:	Umkristallisationsmedium, mittels folgender Zahlen bezeichnet:
	1	Äthanol
	2	Toluol
	3	Xylol
	4	<i>o</i> -Dichlorbenzol
	5	Dimethylformamid
	6	Wasser
	7	Methanol
	8	Benzol
	9	Hexan
	10	Tetrachloräthylen
Spalte VI	Summenformel, Molekulargewicht und Analysendaten	
	obere Zeile:	berechnete Werte
	untere Zeile:	gefundene Werte
Spalte VII	Absorption-Maxima (in DMF);	
	linke Zahl:	λ_{\max} in nm
	rechte Zahl:	molare Extinktion
Spalte VIII	Fluoreszenz-Maxima (in DMF): λ_{\max} in nm	
	untere Zahl:	Hauptmaximum

Tabelle 1.

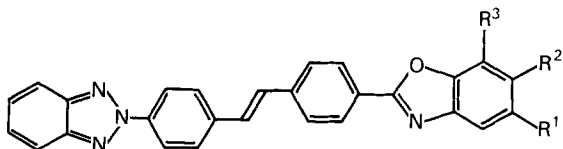
4-(2 H-Benzotriazol-2-yl)-4'-(benzoxazol-2-yl)-stilben-Derivate



I	II	III	IV	V	VI	VII	VIII
	R					λ	$\varepsilon \cdot 10^{-4}$
1.1 B [2]	H	43,9 31,7	5 N	> 360 3	$C_{27}H_{18}N_4O$ (414,45) $C_{78,24}H_{4,38}N_{13,52}$ $C_{78,30}H_{4,45}N_{13,43}$	374	8,76 415 437
1.2 E [2]	CH ₃	40,5 33,4	5 N	357–358 3	$C_{28}H_{20}N_4O$ (428,47) $C_{78,48}H_{4,71}N_{13,08}$ $C_{78,59}H_{4,80}N_{13,24}$	376	8,67 416 439
1.3 F Z 1	C ₂ H ₅	36,3 9,1	5 N	333–334 3	$C_{29}H_{22}N_4O$ (442,50) $C_{78,71}H_{5,01}N_{12,66}$ $C_{78,49}H_{4,91}N_{12,79}$	376	8,49 416 439
1.4 C Z 2	CH ₂ —CH ₂ —CH ₃	35,5 25,6	5 N	316–317 3	$C_{30}H_{24}N_4O$ (456,52) $C_{78,92}H_{5,30}N_{12,27}$ $C_{78,51}H_{5,33}N_{12,40}$	376	8,33 416 439
1.5 C [10]	CH(CH ₃) ₂	28,9 21,1	5 B+N	305–306 3	$C_{30}H_{24}N_4O$ (456,52) $C_{78,92}H_{5,30}N_{12,27}$ $C_{78,77}H_{5,36}N_{12,53}$	377	8,34 416 439
1.6 C [2]	C(CH ₃) ₃	27,7 20,2	4 B+N	310–311 3	$C_{31}H_{26}N_4O$ (470,55) $C_{79,12}H_{5,57}N_{11,91}$ $C_{79,22}H_{5,65}N_{11,91}$	377	8,44 416 439
1.7 F Z 4	CH ₂ —C ₆ H ₅	40,0 30,0	5 N	281–282 3	$C_{34}H_{24}N_4O$ (504,56) $C_{80,93}H_{4,79}N_{11,11}$ $C_{81,06}H_{4,85}N_{11,18}$	377	8,65 416 439
1.8 F [2]	C(CH ₃) ₂ —C ₆ H ₅	33,8 30,1	5 B	297–298 3	$C_{38}H_{28}N_4O$ (532,62) $C_{81,18}H_{5,30}N_{10,52}$ $C_{80,97}H_{5,32}N_{10,55}$	377	9,10 416 440
1.9 C [2]	C ₆ H ₅	38,8 31,7	5 B+N	320–321 3	$C_{33}H_{22}N_4O$ (490,57) $C_{80,80}H_{4,52}N_{11,42}$ $C_{80,50}H_{4,53}N_{11,36}$	378	9,02 416 439
1.10 C Z 5	OCH ₃	34,1 22,7	5 K	323–324 3	$C_{28}H_{20}N_4O_2$ (444,47) $C_{75,65}H_{4,54}N_{12,61}$ $C_{75,40}H_{4,53}N_{12,91}$	380	8,40 420 442

Tabelle 2.

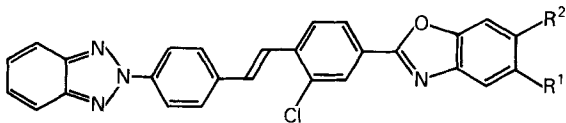
4-(2H-Benzotriazol-2-yl)-4'-(benzoxazol-2-yl)-stilben-Derivate



I	II		III	IV	V	VI	VII	VIII
	R ¹	R ²	R ³				λ	$\varepsilon \cdot 10^{-4}$
2.1 B [2]	H	CH ₃	H	9,5 2,8	5 K	344–345 3	C ₂₈ H ₂₀ N ₄ O (428,47) C 78,48 H 4,71 N 13,08 C 78,37 H 4,85 N 13,24	377 8,46 440
2.2 C Z 6	H	H	CH ₃	26,9 19,8	5 N	278–279 3	C ₂₈ H ₂₀ N ₄ O (428,47) C 78,48 H 4,71 N 13,08 C 78,50 H 4,78 N 12,92	375 8,41 438
2.3 C Z 7	CH ₃	H	CH ₃	31,8 13,6	5 N	270–271 3	C ₂₉ H ₂₂ N ₄ O (442,50) C 78,71 H 5,01 N 12,66 C 78,52 H 5,06 N 12,76	376 8,52 441
2.4 C [2]	H	C ₆ H ₅	H	40,9 32,7	5 N	318–319 3	C ₃₂ H ₂₂ N ₄ O (490,57) C 80,80 H 4,52 N 11,42 C 80,58 H 4,53 N 11,33	383 9,20 445

Tabelle 3.

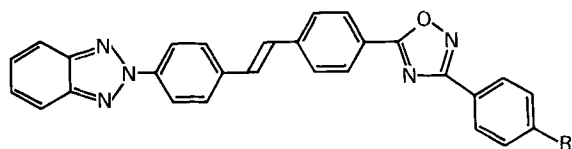
4-(2H-Benzotriazol-2-yl)-2'-chlor-4'-(benzoxazol-2-yl)-stilben-Derivate



I	II		III	IV	V	VI	VII	VIII
	R ¹	R ²					λ	$\varepsilon \cdot 10^{-4}$
3.1 A Z 12	H	H	82,6 55,7	4 K	293–294 2/5	C ₂₇ H ₁₇ ClN ₄ O (448,91) C 72,24 H 3,82 N 12,48 C 72,07 H 3,84 N 12,22	372 7,36 440	
3.2 A Z 13	CH ₃	CH ₃	92,3 60,9	5 N	274–275 2	C ₂₈ H ₂₁ ClN ₄ O (476,97) C 73,03 H 4,44 N 11,75 C 72,91 H 4,30 N 11,67	380 7,88 445	
3.3 A Z 14	C(CH ₃) ₃	H	73,2 49,5	4 N	238–239 2	C ₃₁ H ₂₅ ClN ₄ O (505,02) C 73,73 H 4,99 N 11,09 C 73,50 H 5,04 N 10,88	375 7,45 443	
3.4 A Z 15	H	C ₆ H ₅	60,9 38,1	5 N	244–245 2	C ₃₃ H ₂₁ ClN ₄ O (525,01) C 75,50 H 4,03 N 10,67 C 75,56 H 4,19 N 10,37	381 8,30 452	

Tabelle 4.

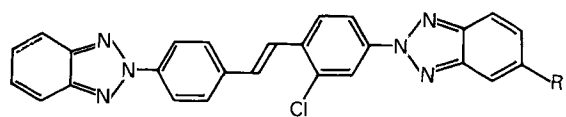
4-(2H-Benzotriazol-2-yl)-4'-
(3-phenyl-1,2,4-oxadiazol-5-yl)-
stilben-Derivate



I	II	III	IV	V	VI	VII	VIII
	R					λ	$\epsilon \cdot 10^{-4}$
4.1 B [2]	H	49,9 40,8	4 N	266-267 2	$C_{28}H_{19}N_5O$ (441,47) C 76,17 H 4,34 N 15,87 C 76,02 H 4,40 N 16,13	368	7,37 410 430
4.2 B [2]	CH ₃	43,9 24,4	4 K	262-263 2	$C_{29}H_{21}N_5O$ (455,50) C 76,46 H 4,65 N 15,38 C 76,61 H 4,69 N 15,16	368	7,32 410 430
4.3 B Z 17	Cl	42,0 18,9	3 K	260-261 2/3	$C_{28}H_{18}ClN_5O$ (475,94) C 70,66 H 3,81 N 14,71 C 70,50 H 3,85 N 14,87	368	7,44 410 431

Tabelle 5.

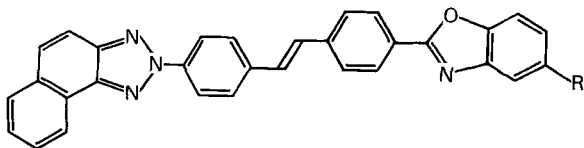
2-Chlor-4,4'-di-(2H-benzotriazol-2-yl)-stilben-Derivate



I	II	III	IV	V	VI	VII	VIII
	R					λ	$\epsilon \cdot 10^{-4}$
5.1 A [4]	H	87,0 57,8	5 N	302,5-303,5 2	$C_{26}H_{17}ClN_6$ (448,92) C 69,56 H 3,82 N 18,72 C 69,63 H 3,95 N 18,66	375	7,30 421 443
5.2 A [4]	OCH ₃	50,2 37,5	5 K	256,5-257,5 3	$C_{27}H_{19}ClN_6O$ (478,94) C 67,71 H 4,00 N 17,55 C 67,78 H 4,03 N 17,54	380	8,12 420 443

Tabelle 6.

4-(2H-Naphtho[1,2-d]triazol-2-yl)-
4'-(benzoxazol-2-yl)-stilben-
Derivate

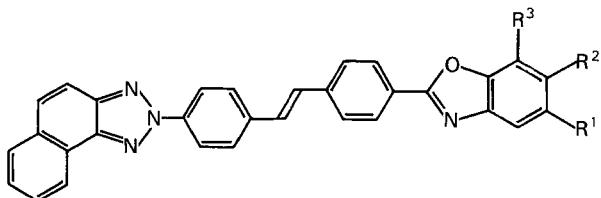


I	II	III	IV	V	VI	VII	VIII
	R					λ	$\varepsilon \cdot 10^{-4}$
6.1 E [2]	H	65,4 51,7	5 N	306–307 ¹⁾ 4	$C_{31}H_{20}N_4O$ (464,50) $C 80,15$ H 4,34 N 12,06 $C 80,05$ H 4,39 N 12,06	336 382	3,30 8,86
6.2 E [2]	CH ₃	63,6 48,5	5 N	278–279 ²⁾ 4	$C_{32}H_{22}N_4O$ (478,53) $C 80,31$ H 4,63 N 11,71 $C 80,45$ H 4,73 N 11,74	337 383	3,15 8,95
6.3 E Z 1	C ₂ H ₅	73,8 59,0	5 N	237–238 3	$C_{33}H_{24}N_4O$ (492,55) $C 80,46$ H 4,91 N 11,38 $C 80,51$ H 5,01 N 11,46	336 382	3,20 8,80
6.4 E Z 2	CH ₂ —CH ₂ —CH ₃	66,1 54,1	5 N	271–272 2	$C_{34}H_{26}N_4O$ (506,58) $C 80,61$ H 5,17 N 11,06 $C 80,90$ H 5,14 N 11,02	337 383	3,10 8,80
6.5 B [10]	CH(CH ₃) ₂	68,3 63,5	5 N	265–266 3	$C_{34}H_{26}N_4O$ (506,58) $C 80,61$ H 5,17 N 11,06 $C 80,85$ H 5,33 N 11,21	336 381	3,16 8,85
6.6 E [2]	C(CH ₃) ₃	73,8 60,0	5 N+B	288–289 3	$C_{35}H_{28}N_4O$ (520,61) $C 80,74$ H 5,42 N 10,76 $C 80,77$ H 5,39 N 10,84	336 384	3,25 9,06
6.7 B [10]	CH ₃ CH ₃ C—CH ₂ —C—CH ₃ CH ₃ CH ₃	73,6 63,9	5 K	273–274 3	$C_{39}H_{36}N_4O$ (576,71) $C 81,22$ H 6,29 N 9,72 $C 81,20$ H 6,25 N 9,76	336 381	3,15 8,85
6.8 B Z 3	Cyclohexyl	76,4 67,7	5 N	291–292 3	$C_{37}H_{30}N_4O$ (546,64) $C 81,29$ H 5,53 N 10,25 $C 81,23$ H 5,49 N 10,27	336 380	3,20 9,00
6.9 B Z 4	CH ₂ —C ₆ H ₅	88,4 66,7	5 N	280–281 4/3	$C_{38}H_{26}N_4O$ (554,62) $C 82,29$ H 4,73 N 10,10 $C 82,10$ H 4,92 N 10,18	336 382	3,60 9,20
6.10 E [2]	C(CH ₃) ₂ —C ₆ H ₅	48,0 43,2	5 N	236–237 2	$C_{40}H_{30}N_4O$ (582,67) $C 82,45$ H 5,19 N 9,62 $C 82,38$ H 5,27 N 9,52	337 383	3,75 9,30
6.11 B [2]	C ₆ H ₅	66,7 57,8	5 B	278–279 4	$C_{37}H_{24}N_4O$ (540,59) $C 82,20$ H 4,48 N 10,36 $C 82,39$ H 4,50 N 10,42	385	9,63

¹⁾ Smp. > 310° [8].²⁾ Smp. 238–239° [5]; Smp. 268–270° [7].

Tabelle 7.

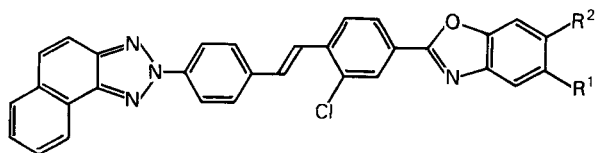
*4-(2H-Naphtho[1,2-d]triazol-2-yl)-
4'-(benzoxazol-2-yl)-stilben-
Derivate*



I	II			III	IV	V	VI	VII		VIII	
	R ¹	R ²	R ³							λ	$\epsilon \cdot 10^{-4}$
7.1 E [2]	H	CH ₃	H	91,5	5	271–272	C ₃₂ H ₂₂ N ₄ O (478,53)	C 80,31 H 4,63 N 11,71	336	3,05	418
							C 80,30 H 4,80 N 11,71		382	8,85	
				57,5	B	3	C 80,16 H 4,75 N 12,01			443	
7.2 B Z 6	H	H	CH ₃	76,3	5	281–282	C ₃₂ H ₂₂ N ₄ O (478,53)	C 80,31 H 4,63 N 11,71	337	3,30	418
							C 80,16 H 4,75 N 12,01				
				67,8	N	3	C 80,16 H 4,75 N 12,01		382	8,89	443
7.3 E [2]	CH ₃	CH ₃	H	78,6	5	299–300	C ₃₃ H ₂₄ N ₄ O (492,55)	C 80,46 H 4,91 N 11,38	385	9,18	420
							C 80,67 H 4,79 N 11,37				
				40,9	K	3	C 80,67 H 4,79 N 11,37				444
7.4 E Z 7	CH ₃	H	CH ₃	69,4	5	260–261	C ₃₃ H ₂₄ N ₄ O (492,55)	C 80,46 H 4,91 N 11,38	382	8,80	417
							C 80,46 H 4,91 N 11,38				
				51,1	N	3	C 80,33 H 4,93 N 11,39				442
7.5 B Z 8	CH ₃	H	<i>t</i> -Bu	74,2	5	282–283	C ₃₆ H ₃₀ N ₄ O (534,63)	C 80,87 H 5,66 N 10,48	381	8,65	417
							C 80,87 H 5,66 N 10,48				
				65,2	N	2	C 80,76 H 5,88 N 10,63				442
7.6 B Z 9	<i>t</i> -Bu	H	CH ₃	66,7	5	245–246	C ₃₆ H ₃₀ N ₄ O (534,63)	C 80,87 H 5,66 N 10,48	336	3,10	417
							C 80,87 H 5,66 N 10,48				
				53,8	K	2	C 80,70 H 5,85 N 10,64		382	8,75	442
7.7 E [2]	H	C ₆ H ₅	H	74,6	5	286–287	C ₃₇ H ₂₄ N ₄ O (540,59)	C 82,20 H 4,48 N 10,36	387	10,10	424
							C 82,20 H 4,48 N 10,36				
				56,7	B+N	4/5	C 82,04 H 4,47 N 10,14				449
7.8 B Z 10	H	OC ₆ H ₅	H	75,3	5	259–260	C ₃₇ H ₂₄ N ₄ O ₂ (556,59)	C 79,84 H 4,35 N 10,07	384	9,30	420
							C 79,84 H 4,35 N 10,07				
				62,3	B+N	3	C 80,04 H 4,49 N 10,17				444
7.9 B Z 11	Cl	H	CH ₃	43,8	5	265–266	C ₃₂ H ₂₁ ClN ₄ O (513,00)	C 74,92 H 4,13 N 10,92	337	3,18	419
							C 74,92 H 4,13 N 10,92				
				29,7	K	3	C 74,74 H 4,29 N 11,16		382	8,70	443

Tabelle 8.

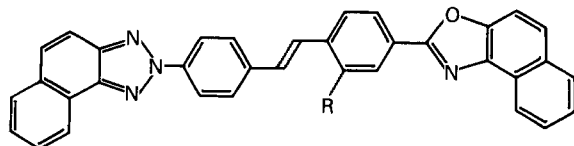
4-(2H-Naphtho[1,2-d]triazol-2-yl)-
2'-chlor-4'-(benzoxazol-2-yl)-
stilben-Derivate



I	II		III	IV	V	VI	VII	VIII
		R ¹	R ²				λ	$\epsilon \cdot 10^{-4}$
8.1 A Z 12	H	H		90,2 52,1	5 N	285-286 3	C ₃₁ H ₁₉ ClN ₄ O (498,97) C 74,62 H 3,84 N 11,23 C 74,39 H 3,79 N 11,19	383 8,24 426 450
8.2 A Z 13	CH ₃	CH ₃		96,2 71,8	8 N	297-298 3/5	C ₃₃ H ₂₃ ClN ₄ O (527,03) C 75,21 H 4,40 N 10,63 C 75,00 H 4,44 N 10,62	387 8,43 427 452
8.3 A Z 14	<i>t</i> -Bu	H		81,8 58,2	5 N	228-229 2	C ₃₅ H ₂₇ ClN ₄ O (555,08) C 75,73 H 4,90 N 10,09 C 75,62 H 4,85 N 9,98	386 8,18 426 451
8.4 A Z 15	H	C ₆ H ₅		78,2 52,2	5 N	264-265 3	C ₃₇ H ₂₃ ClN ₄ O (575,07) C 77,28 H 4,03 N 9,74 C 77,11 H 4,00 N 9,62	388 8,88 434 457

Tabelle 9.

4-(2H-Naphtho[1,2-d]triazol-2-yl)-
4'-(naphtho[1,2-d]oxazol-2-yl)-
stilben-Derivate



I	II		III	IV	V	VI	VII	VIII
		R					λ	$\epsilon \cdot 10^{-4}$
9.1 B [2]	H			77,8 55,4	5 N	335-336 4	C ₃₅ H ₂₂ N ₄ O (514,59) C 81,69 H 4,31 N 10,89 C 81,58 H 4,24 N 10,81	317 1,62 426 391 9,40 452
9.2 A Z 16	Cl			92,8 69,1	8 N	296-297 4/3	C ₃₅ H ₂₁ ClN ₄ O (549,03) C 76,57 H 3,86 N 10,20 C 76,66 H 3,96 N 10,15	393 8,51 435 462

Tabelle 10.

*4-(2 H-Naphtho[1,2-d]triazol-2-yl)-
4'-(5-phenyl-oxazol- bzw.
-thiazol-2-yl)-stilben-Derivate*

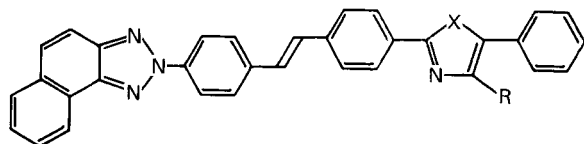
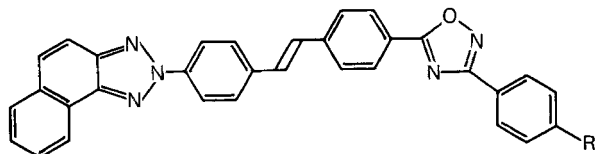


Tabelle 11.

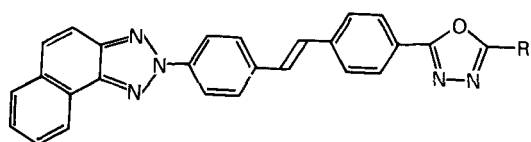
4-(2H-Naphtho[1,2-d]triazol-2-yl)- 4'-(3-phenyl-1,2,4-oxadiazol-5-yl)- stilben-Derivate



I	II	III	IV	V	VI	VII	VIII	
R						λ	$\epsilon \cdot 10^{-4}$	
11.1	B H [2]	85,5 67,2	4 N	255–256 3	$C_{32}H_{21}N_5O$ (491,55) $C\ 78,19\ H\ 4,31\ N\ 14,25$ $C\ 77,91\ H\ 4,24\ N\ 14,20$	331 378	3,04 7,66	416 439
11.2	B CH_3 [2]	83,2 65,3	4 N	255–256 3	$C_{33}H_{23}N_5O$ (505,58) $C\ 78,40\ H\ 4,59\ N\ 13,85$ $C\ 78,43\ H\ 4,56\ N\ 13,75$	331 378	2,91 7,78	416 438
11.3	B Cl Z 17	79,8 66,6	4 N	269–270 3	$C_{32}H_{20}ClN_5O$ (526,00) $C\ 73,07\ H\ 3,83\ N\ 13,31$ $C\ 72,90\ H\ 3,81\ N\ 13,23$	331 378	2,77 7,65	416 441

Tabelle 12.

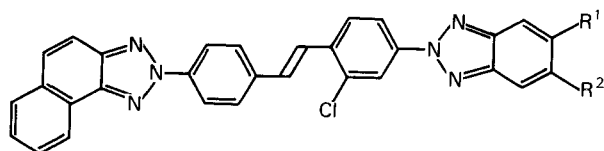
4-(2H-Naphtho[1,2-d]triazol-2-yl)-
4'-(5-aryl-1,3,4-oxadiazol-2-yl)-
stilben-Derivate



I	II	III	IV	V	VI	VII	VIII
	R					λ	$\varepsilon \cdot 10^{-4}$
12.1 D [2]	C ₆ H ₅	68,8 50,5	5 K	262-263 4/3	C ₃₂ H ₂₁ N ₅ O (491,55) C 78,19 H 4,31 N 14,25 C 78,36 H 4,35 N 14,01	333 379	3,20 8,15
12.2 A Z 18	m-C ₆ H ₄ CH ₃	82,6 50,8	4 K	260-261 3	C ₃₃ H ₂₃ N ₅ O (505,58) C 78,40 H 4,59 N 13,85 C 78,31 H 4,73 N 13,75	331 376	3,15 8,00
12.3 D [2]	p-C ₆ H ₄ C(CH ₃) ₃	65,7 56,3	4 B	269-270 3	C ₃₈ H ₂₉ N ₅ O (547,63) C 78,95 H 5,34 N 12,79 C 79,18 H 5,36 N 13,06	333 379	3,45 8,50
12.4 A [14]	p-C ₆ H ₄ Cl	66,2 46,2	5 K	293-294 4/3	C ₃₂ H ₂₀ ClN ₅ O (526,00) C 73,07 H 3,83 N 13,31 C 72,76 H 3,96 N 13,22	332 377	3,10 7,90
12.5 A [14]	o-C ₆ H ₄ OCH ₃	55,4 12,3	5 N	211-212 2+1	C ₃₃ H ₂₃ N ₅ O ₂ (521,58) C 75,99 H 4,44 N 13,43 C 75,84 H 4,56 N 13,53	332 375	3,10 7,90
12.6 A Z 19	m-C ₆ H ₄ OCH ₃	81,5 47,7	5 N	233-234 3	C ₃₃ H ₂₃ N ₅ O ₂ (521,58) C 75,99 H 4,44 N 13,43 C 76,22 H 4,59 N 13,49	332 376	3,25 8,00
12.7 A [14]	p-C ₆ H ₄ OCH ₃	61,5 36,9	4 N	236-237 3	C ₃₃ H ₂₃ N ₅ O ₂ (521,58) C 75,99 H 4,44 N 13,43 C 76,11 H 4,60 N 13,52	333 378	3,45 8,40
12.8 A [2]	p-C ₆ H ₄ C ₆ H ₅	76,1 64,8	5 N	300-301 4/3	C ₃₈ H ₂₅ N ₅ O (567,62) C 80,40 H 4,44 N 12,34 C 80,59 H 4,44 N 12,33	335 378	3,90 8,50
12.9 A Z 20	Naphthyl-(1)	82,8 42,4	5 K	276-277 3	C ₃₆ H ₂₃ N ₅ O (541,61) C 79,83 H 4,28 N 12,93 C 79,64 H 4,20 N 12,89	303 336 380	2,15 3,70 8,85
12.10 A Z 21	Naphthyl-(2)	79,6 48,0	5 N	299-300 3	C ₃₆ H ₂₃ N ₅ O (541,61) C 79,83 H 4,28 N 12,93 C 79,56 H 4,22 N 12,82	336 381	3,70 8,85
12.11 A Z 22	Pyridyl-(4)	54,9 24,5	5 N	280-281 4/5	C ₃₁ H ₂₀ N ₆ O (492,54) C 75,60 H 4,09 N 17,06 C 75,61 H 4,21 N 17,23	334 380	3,06 8,23

Tabelle 13.

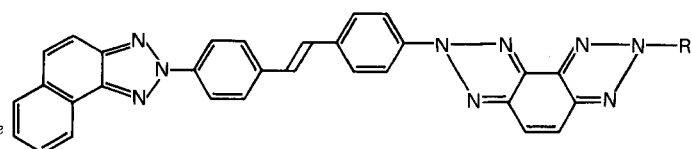
4-(2H-Naphtho[1,2-d]triazol-2-yl)-
2'-chlor-4'-{(2H-benzotriazol-2-yl)-
stilben-Derivate}



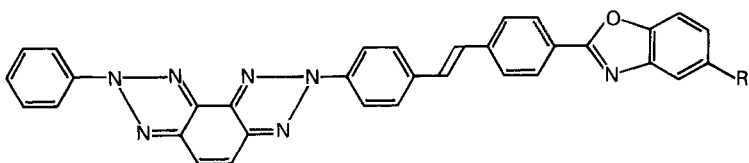
I	II	III	IV	V	VI	VII	VIII
	R ¹	R ²				λ	ε · 10 ⁻⁴
13.1						C ₃₀ H ₁₉ ClN ₆ (498,98)	
A	H	H	80,1	5	288-289	C 72,21 H 3,84 N 16,84	383 8,15 452
[4]			58,2	N	3	C 72,05 H 3,90 N 17,02	
13.2						C ₃₁ H ₂₁ ClN ₆ O (529,00)	
A	OCH ₃	H	83,5	5	267-268	C 70,39 H 4,00 N 15,89	387 8,91 424
[4]			64,0	K	3	C 70,21 H 4,16 N 16,09	448
13.3						C ₃₂ H ₂₃ ClN ₆ O ₂ (559,03)	
A	OCH ₃	OCH ₃	75,2	5	268-269	C 68,75 H 4,15 N 15,03	389 9,60 426
[4]			35,6	K	4/2	C 68,64 H 4,13 N 14,89	451

Tabelle 14.

4-(2H-Naphtho[1,2-d]
triazol-2-yl)-4'-{(2-phenyl-
benzo[1,2-d:3,4-d']bis-
triazol-7-yl)-stilben-Derivate}

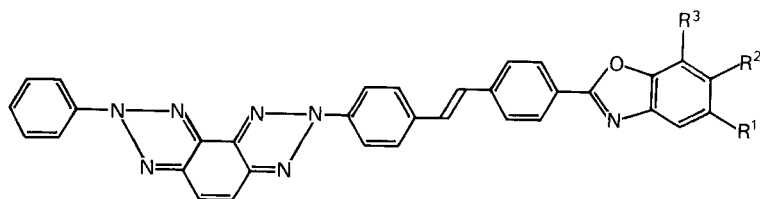


I	II	III	IV	V	VI	VII	VIII
	R					λ	ε · 10 ⁻⁴
14.1						C ₃₇ H ₂₅ N ₉ O (611,67)	
C	<i>o</i> -C ₆ H ₄ OCH ₃	40,8	5	316-317	C 72,66 H 4,12 N 20,61	379 8,75 419	
[1]		23,7	N	4	C 72,44 H 4,13 N 20,65	442	
14.2						C ₃₉ H ₂₉ N ₉ (623,72)	
C	<i>p</i> -C ₆ H ₄ CH(CH ₃) ₂	32,0	5	> 350	C 75,10 H 4,69 N 20,21	380 8,75 420	
[1]		16,7	N	4	C 75,26 H 4,76 N 20,46	443	

Tabelle 15. 4-(2-*Phenyl*-benzo[1,2-d:3,4-d']bis-triazol-7-yl)-4'-(benzoxazol-2-yl)-stilben-Derivate

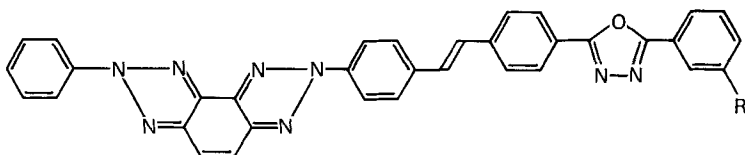
I	II	III	IV	V	VI	VII	VIII
	R					λ	$\epsilon \cdot 10^{-4}$
15.1 C [2]	H	82,7 54,7	7 K	354-355 4	$C_{33}H_{21}N_7O$ (531,58) C 74,56 H 3,98 N 18,44 C 74,39 H 3,85 N 18,72	377	8,95 414 437
15.2 C Z 1	C_2H_5	75,0 50,0	4 N	325-326 4	$C_{35}H_{25}N_7O$ (559,63) C 75,12 H 4,50 N 17,52 C 75,11 H 4,63 N 17,31	375	8,60 413 437
15.3 C [2]	$C(CH_3)_3$	74,0 49,4	5 K	352-353 4/3	$C_{39}H_{28}N_7O$ (587,69) C 75,62 H 4,97 N 16,68 C 75,39 H 5,09 N 16,67	378	9,00 414 438
15.4 C [10]	$\begin{array}{c} CH_3 & CH_3 \\ & \\ C & -CH_2 & -C & -CH_3 \\ & \\ CH_3 & CH_3 \end{array}$	87,5 48,5	4 N	349-350 4/3	$C_{41}H_{37}N_7O$ (643,79) C 76,49 H 5,79 N 15,23 C 76,25 H 5,78 N 15,26	378	9,17 416 439
15.5 C Z 3	Cyclohexyl	90,0 53,4	5 N	345-346 4	$C_{39}H_{31}N_7O$ (613,72) C 76,33 H 5,09 N 15,98 C 76,32 H 5,11 N 15,92	378	7,59 416 439
15.6 C Z 4	$CH_2-C_6H_5$	90,3 54,8	4 N	339-340 4	$C_{40}H_{27}N_7O$ (621,70) C 77,28 H 4,38 N 15,77 C 77,04 H 4,31 N 15,84	374	8,85 415 438
15.7 C [2]	C_6H_5	83,4 63,3	5 N	> 355 4	$C_{39}H_{25}N_5O$ (607,68) C 77,09 H 4,15 N 16,13 C 76,99 H 4,11 N 15,96	379	8,90 416 441
15.8 C Z 5	OCH_3	82,1 57,2	5 N	338-339 4	$C_{34}H_{23}N_7O_2$ (561,60) C 72,72 H 4,13 N 17,46 C 72,62 H 4,24 N 17,19	377	8,70 416 440
15.9 C [11]	Cl	70,7 45,9	5 N	> 355 4	$C_{33}H_{20}ClN_7O$ (566,02) C 70,03 H 3,56 N 17,32 C 69,72 H 3,48 N 17,44	375	8,96 416 440

Tabelle 16. 4-(2-Phenyl-benzo[1,2-d:3,4-d']bis-triazol-7-yl)-4'-(benzoxazol-2-yl)-stilben-Derivate



I	II			III	IV	V	VI	VII			VIII	
	R ¹	R ²	R ³					λ	ε · 10 ⁻⁴			
16.1 C [2]	H	CH ₃	H	74,1 48,2	5 N	350–351 4	C ₃₄ H ₂₃ N ₇ O (545,60) C 74,85 H 4,25 N 17,97 C 74,65 H 4,53 N 18,13	375	8,70	414 438		
16.2 C [2]	CH ₃	CH ₃	H	89,3 45,1	4 N	358–359 4/5	C ₃₅ H ₂₅ N ₇ O (559,63) C 75,12 H 4,50 N 17,52 C 74,73 H 4,58 N 17,73	378	8,75	418 442		
16.3 C Z 7	CH ₃	H	CH ₃	75,0 53,6	5 N	320–321 4	C ₃₅ H ₂₅ N ₇ O (559,63) C 75,12 H 4,50 N 17,52 C 74,85 H 4,62 N 17,38	376	8,65	413 437		
16.4 C Z 8	CH ₃	H	t-Bu	100 53,3	7 N	329–330 4/3	C ₃₈ H ₃₁ N ₇ O (601,71) C 75,85 H 5,19 N 16,29 C 75,83 H 5,16 N 16,32	378	9,14	416 440		
16.5 C Z 9	t-Bu	H	CH ₃	83,3 50,0	4 K	288–289 4/3	C ₃₈ H ₃₁ N ₇ O (601,71) C 75,85 H 5,19 N 16,29 C 75,73 H 5,22 N 16,07	378	8,68	416 440		
16.6 C [2]	H	C ₆ H ₅	H	76,2 53,1	5 N	> 355 4	C ₃₉ H ₂₅ N ₇ O (607,68) C 77,09 H 4,15 N 16,13 C 76,77 H 4,12 N 16,18	381	9,20	420 443		
16.7 C Z 10	H	OC ₆ H ₅	H	74,2 61,2	4 N	337–338 4	C ₃₉ H ₂₅ N ₇ O ₂ (623,68) C 75,11 H 4,04 N 15,72 C 75,02 H 4,03 N 15,51	384	7,85	421 445		

Tabelle 17. 4-(2-Phenyl-benzo[1,2-d:3,4-d']bis-triazol-7-yl)-4'-(5-phenyl-1,3,4-oxadiazol-2-yl)-stilben-Derivate



I	II	III	IV	V	VI	VII	VIII
	R					λ	$\epsilon \cdot 10^{-4}$
17.1					$C_{34}H_{22}N_8O$ (558,60)		
C [2]	H	78,6	4	341–342	$C_{73,11}H_{3,97}N_{20,06}$	373	8,49
		46,4	N	4	$C_{72,94}H_{3,94}N_{19,96}$		410
							433
17.2					$C_{35}H_{24}N_8O$ (572,63)		
C Z 18	CH ₃	78,6	4	317–318	$C_{73,41}H_{4,22}N_{19,57}$	367	8,05
		42,9	K	4	$C_{73,18}H_{4,17}N_{19,60}$		411
							432
17.3					$C_{35}H_{24}N_8O_2$ (588,63)		
C Z 19	OCH ₃	79,3	4	309–310	$C_{71,42}H_{4,11}N_{19,04}$	369	8,18
		48,3	K	4/3	$C_{71,18}H_{4,14}N_{19,12}$		411
							433

Experimenteller Teil

(Mitarbeiter: A. Müller, B. Kägi und E. Nanser)

Allgemeines. Die Smp. (nicht korrig.) wurden in offenen Glaskapillaren bestimmt. Die Absorptionsspektren wurden auf einem Cary-Recording-Spektrophotometer, Modell 14 M, in Dimethylformamid (Lösungen unter Ausschluss von Licht hergestellt), die Fluoreszenzspektren auf einem Hitachi-Perkin-Elmer-Spektrophotometer, Modell MPF-2 A, bei einem Messwinkel von 90° und einer spektralen Bandbreite von 4,0 nm mit $5 \cdot 10^{-6} M$ Lösungen in Dimethylformamid (Schichtdicke 1 cm) aufgenommen. Angeregt wurde bei 365,0 nm.

Alle basenkatalysierten Reaktionen wurden unter Stickstoff ausgeführt; als Lösungsmittel diente Dimethylformamid «zur Synthese» von Merck; das Kaliumhydroxidpulver hatte einen Wassergehalt von etwa 10%. Zur Reinigung der Produkte wurde als Bleichmittel Tonsil optimum NFF und als Aktivkohle Norit eingesetzt.

Die Elementaranalysen wurden in der mikroanalytischen Abteilung (unter Leitung von Herrn Dr. W. Padowetz), die Elektronenspektren sowie die Fluoreszenzspektren in der physikalischen Abteilung (unter Leitung der Herren Dres. H. Hürzeler und B. G. Somers) der CIBA-GEIGY AG, Werk Klybeck, durchgeführt bzw. aufgenommen.

1. Stilben-Derivate

Mit den Herstellungsvorschriften A bis F werden typische Beispiele gegeben; für die übrigen nach diesen Vorschriften dargestellten Verbindungen s. Tab. 1 bis 17. Alle Versuche wurden unter gutem Rühren ausgeführt. Die Rohprodukte wurden zwei bis dreimal umkristallisiert.

Vorschrift A: – 4-(2H-Naphtho[1,2-d]triazol-2-yl)-4'-(5-(p-biphenylyl)-1,3,4-oxadiazol-2-yl)-stilben (12.8). 3,90 g (0,0125 mol) 2-(*p*-Tolyl)-5-(*p*-biphenylyl)-1,3,4-oxadiazol [2], 4,79 g (0,0125 mol) des Anils aus 2-(4-Formylphenyl)-2H-naphtho[1,2-d]triazol und *p*-Chloranilin und 3,15 g ($\sim 0,05$ mol) Kaliumhydroxidpulver werden in 150 ml Dimethylformamid verrührt und im Ver-

laufe von 30 Min. auf 40° erwärmt. Die Farbe des Reaktionsgemisches wechselt dabei allmählich von gelb über braun nach dunkel-violett. Man röhrt 1 Std. bei 40–45°, kühlt auf Raumtemperatur ab, gibt 450 ml Methanol zu und kühlt weiter bis auf 0°. Das ausgefallene Produkt wird abgenutscht, durch mehrmaliges Überdecken mit insgesamt 700 ml Methanol gewaschen und danach getrocknet: 5,4 g (76,1% d. Th.) Verbindung 12.8 als gelbes Pulver vom Smp. 294–295°. Nach Umkristallisieren aus *o*-Dichlorbenzol (Bleicherde) und danach aus Xylol: 4,6 g (64,8%) grünstichig-gelbe, verfilzte Nadelchen vom Smp. 300–301°. Analytische Daten, UV.-Absorptions- und Fluoreszenz-Maxima: s. Tab. 12.

Vorschrift B: – 4-(2H-Benzotriazol-2-yl)-4'-(3-phenyl-1,2,4-oxadiazol-5-yl)-stilben (4.1). 2,36 g (0,01 mol) 3-Phenyl-5-(*p*-tolyl)-1,2,4-oxadiazol [2], 3,33 g (0,01 mol) des Anils aus 2-(4-Formylphenyl)-2H-benzotriazol und *p*-Chloranilin und 2,5 g (~ 0,04 mol) Kaliumhydroxidpulver werden in 120 ml Dimethylformamid verrührt, im Verlaufe von 30 Min. auf 40° erwärmt und 90 Min. bei 40–45° nachgerührt. Aufarbeitung analog Vorschrift A: 2,2 g (49,9%) Verbindung 4.1 als gelbe Kristalle vom Smp. 254–259°. Nach 2maligem Umkristallisieren aus Toluol (Bleicherde): 1,9 g (40,8%) helle, grünstichig-gelbe, verfilzte Nadelchen vom Smp. 266–267°. Analytische Daten, UV.-Absorptions- und Fluoreszenz-Maxima: s. Tab. 4.

Vorschrift C: – 4-(2-Phenyl-benzo[1,2-d:3,4-d']bis-triazol-7-yl)-4'-(5,7-dimethyl-benzoxazol-2-yl)-stilben (16.3). 2,37 g (0,01 mol) 2-(*p*-Tolyl)-5,7-dimethyl-benzoxazol (Z 7), 4,5 g des Anils aus 2-Phenyl-7-(4-formylphenyl)-benzo[1,2-d:3,4-d']bis-triazol und *p*-Chloranilin und 2,5 g (~ 0,04 mol) Kaliumhydroxidpulver werden in 150 ml Dimethylformamid verrührt, im Verlaufe von 30 Min. auf 60° erwärmt und 1 Std. bei 60–65° nachgerührt. Aufarbeitung analog Vorschrift A: 4,2 g (75%) Verbindung 16.3 als gelbes Pulver vom Smp. 315–316°. Nach 2maligem Umkristallisieren aus *o*-Dichlorbenzol (Bleicherde): 3,0 g (53,6%) grünstichig-gelbe, verfilzte Nadelchen vom Smp. 320–321°. Analytische Daten, UV.-Absorptions- und Fluoreszenz-Maxima: s. Tab. 16.

Vorschrift D: – 4-(2H-Naphtho[1,2-d]triazol-2-yl)-4'-(5-(*p*-t-butylphenyl)-1,3,4-oxadiazol-2-yl)-stilben (12.3). 3,65 g (0,0125 mol) 2-(*p*-Tolyl)-5-(*p*-t-butylphenyl)-1,3,4-oxadiazol [2], 4,79 g (0,0125 mol) des Anils aus 2-(4-Formylphenyl)-2H-naphtho[1,2-d]triazol und *p*-Chloranilin und 6,25 g (~ 0,1 mol) Kaliumhydroxidpulver werden in 150 ml Dimethylformamid nach Vorschrift A umgesetzt: 4,5 g (65,7%) Verbindung 12.3 als gelbes Pulver vom Smp. 269–270°. Nach 2maligem Umkristallisieren aus Xylol (Bleicherde): 3,85 g (56,3%) helle, grünstichig-gelbe, glänzende Blättchen; Smp. unverändert. Analytische Daten, UV.-Absorptions- und Fluoreszenz-Maxima: s. Tab. 12.

Vorschrift E: – 4-(2H-Naphtho[1,2-d]triazol-2-yl)-4'-(benzoxazol-2-yl)-stilben (6.1). 2,62 g (0,0125 mol) 2-(*p*-Tolyl)-benzoxazol [2], 4,79 g (0,0125 mol) des Anils aus 2-(4-Formylphenyl)-2H-naphtho[1,2-d]triazol und *p*-Chloranilin und 6,25 g (~ 0,1 mol) Kaliumhydroxidpulver werden in 100 ml Dimethylformamid nach Vorschift B umgesetzt: 3,8 g (65,4%) Verbindung 6.1 als grünstichig-gelbes Pulver vom Smp. 303–304°. Zweimaliges Umkristallisieren aus *o*-Dichlorbenzol (Bleicherde) ergibt 3,0 g (51,7%) grünstichig-gelbe, sehr feine, verfilzte Nadelchen vom Smp. 306–307°. Analytische Daten, UV.-Absorptions- und Fluoreszenz-Maxima: s. Tab. 6.

Vorschift F: – 4-(2H-Benzotriazol-2-yl)-4'-(5- α -cumenyl-benzoxazol-2-yl)-stilben (1.8). 3,27 g (0,01 mol) 2-(*p*-Tolyl)-5-(α -cumenyl)-benzoxazol [2], 3,33 g (0,01 mol) des Anils aus 2-(4-Formylphenyl)-2H-benzotriazol und *p*-Chloranilin und 5,0 g (~ 0,08 mol) Kaliumhydroxidpulver werden in 100 ml Dimethylformamid nach Vorschift C umgesetzt: 1,8 g (33,8%) Verbindung 1.8 als gelbes Pulver vom Smp. 294–295°. Nach 2maligem Umkristallisieren aus Xylol (Bleicherde): 1,6 g (30,1%) grünstichig-gelbe, glänzende Blättchen vom Smp. 297–298°. Analytische Daten, UV.-Absorptions- und Fluoreszenz-Maxima: s. Tab. 1.

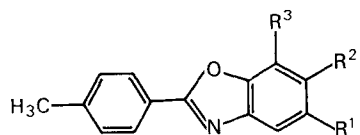
2. Methylsubstituierte Zwischenprodukte

Die als Zwischenprodukte zur «Anil-Synthese» verwendeten methylsubstituierten Heterocyclen sind zum Teil bekannt (s. Literaturhinweise in den Tab. 1–17) oder wurden nach bekannten Methoden dargestellt (Z 1–Z 22); sie werden nachfolgend tabellarisch wiedergegeben (Tab. Z 1 bis Z 4).

Tabelle Z 1.

2-(*p*-Tolyl)-benzoxazol-Derivate

nach [12] dargestellt



I	II			III	IV	V	VI
	R ¹	R ²	R ³				
Z 1	C ₂ H ₅	H	H	71,6 55,1	1 K	96,5–97 1	C ₁₆ H ₁₅ NO (237,29) C 80,98 H 6,37 N 5,90 C 81,06 H 6,34 N 5,80
Z 2	CH ₂ CH ₂ CH ₃	H	H	71,7 61,0	2 K	68,5–69 7	C ₁₇ H ₁₇ NO (251,31) C 81,24 H 6,82 N 5,57 C 81,30 H 6,77 N 5,66
Z 3	Cyclohexyl	H	H	98,0 84,7	2 N	136,5–137 1	C ₂₀ H ₂₁ NO (291,38) C 82,44 H 7,26 N 4,81 C 82,57 H 7,19 N 4,88
Z 4	CH ₂ C ₆ H ₅	H	H	91,0 81,7	2 N	110,5–111 1	C ₂₁ H ₁₇ NO (299,35) C 84,25 H 5,72 N 4,78 C 84,41 H 5,71 N 4,83
Z 5	OCH ₃	H	H	43,1 31,2	1 N	113–114 7	C ₁₅ H ₁₃ NO ₂ (239,26) C 75,30 H 5,48 N 5,85 C 75,26 H 5,41 N 6,10
Z 6	H	H	CH ₃	83,3 68,2	2 N	86–87 7+6	C ₁₅ H ₁₃ NO (223,26) C 80,69 H 5,87 N 6,27 C 80,92 H 6,04 N 6,48
Z 7	CH ₃	H	CH ₃	78,1 49,0	1 K	89–89,5 1	C ₁₆ H ₁₅ NO (237,29) C 80,98 H 6,37 N 5,90 C 81,19 H 6,33 N 5,94
Z 8	CH ₃	H	C(CH ₃) ₃	— 64,6	1 K	97,5–98 9	C ₁₉ H ₂₁ NO (279,37) C 81,68 H 7,58 N 5,01 C 81,91 H 7,57 N 5,07
Z 9	C(CH ₃) ₃	H	CH ₃	79,9 58,6	2 N	104–104,5 1+6	C ₁₉ H ₂₁ NO (279,37) C 81,68 H 7,58 N 5,01 C 81,74 H 7,55 N 4,98
Z 10	H	OC ₆ H ₅	H	35,1 29,4	1 K	102–102,5 8	C ₂₀ H ₁₅ NO ₂ (301,33) C 79,71 H 5,02 N 4,65 C 79,92 H 5,07 N 4,80
Z 11	Cl	H	CH ₃	83,7 38,1	1 N	135,5–136 1	C ₁₅ H ₁₂ CINO (257,72) C 69,91 H 4,69 N 5,43 C 69,95 H 4,64 N 5,63

Tabelle Z 2.

2-(3-Chlor-4-methyl-phenyl)-
benzoxazol Derivate und 2-(3-Chlor-4-
methyl-phenyl)-(naphth[1,2-d]oxazol

nach [12] dargestellt

I	II		III	IV	V	VI	
		R ¹	R ²				
Z 12	H	H		89,2 57,6	1 N	121,5–122 1	C ₁₄ H ₁₀ ClNO (243,69) C 69,00 H 4,14 N 5,75 C 69,07 H 4,33 N 5,62
Z 13	CH ₃	CH ₃		86,9 63,5	2 K	184–184,5 10/3	C ₁₆ H ₁₄ ClNO (271,75) C 70,72 H 5,19 N 5,15 C 70,85 H 5,29 N 5,10
Z 14	C(CH ₃) ₃	H		91,0 64,4	1 K	115–115,5 1	C ₁₈ H ₁₈ ClNO (299,80) C 72,11 H 6,05 N 4,67 C 71,86 H 5,94 N 4,63
Z 15	H	C ₆ H ₅		65,5 49,2	1 B	162,5–163 10	C ₂₀ H ₁₄ ClNO (319,79) C 75,12 H 4,41 N 4,38 C 75,18 H 4,37 N 4,38
Z 16				69,3 36,0	8 N	175–175,5 2/1	C ₁₈ H ₁₂ ClNO (293,75) C 73,60 H 4,12 N 4,77 C 73,71 H 4,19 N 4,76

Tabelle Z 3.

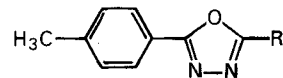
3-(p-Chlorphenyl)-5-(p-tolyl)-1,2,4-oxadiazol

nach [13] dargestellt

I	II		III	IV	V	VI	
Z 17				88,0 78,3	1 N	129,5–130 9	C ₁₅ H ₁₁ ClN ₂ O (270,72) C 66,55 H 4,10 N 10,35 C 66,50 H 4,08 N 10,51

Tabelle Z 4.

2-(*p*-Tolyl)-5-aryl-1,3,4-oxadiazol-
Derivate



nach [14] dargestellt

I	II (R)	III	IV	V	VI
Z 18	<i>m</i> -C ₆ H ₄ CH ₃	89,0 69,1	2 K	80,5-81 1	C ₁₆ H ₁₄ N ₂ O (250,29) C 76,78 H 5,64 N 11,19 C 76,83 H 5,48 N 11,35
Z 19	<i>m</i> -C ₆ H ₄ OCH ₃	96,8 87,8	2 K	97,4-98 1+6	C ₁₆ H ₁₄ N ₂ O ₂ (266,29) C 72,16 H 5,30 N 10,52 C 72,05 H 5,25 N 10,58
Z 20	Naphthyl-(1)	83,3 70,7	2 K	136-136,5 1	C ₁₉ H ₁₄ N ₂ O (286,32) C 79,70 H 4,93 N 9,78 C 79,60 H 4,91 N 9,54
Z 21	Naphthyl-(2)	95,2 65,0	1 K	147,5-148 1	C ₁₉ H ₁₄ N ₂ O (286,32) C 79,70 H 4,93 N 9,78 C 79,78 H 5,04 N 10,02
Z 22	Pyridyl-(4)	69,7 44,9	1 N	148,5-149 9	C ₁₄ H ₁₁ N ₃ O (237,25) C 70,87 H 4,67 N 17,71 C 70,70 H 4,69 N 17,90

3. Schiff'sche Basen

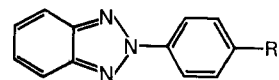
Die in der Tabelle I aufgeführten Schiff'schen Basen wurden durch Zusammenschmelzen der entsprechenden Aldehyde mit *p*-Chloranilin (5% Überschuss) während 30 Min. bei 190-195° unter Stickstoffatmosphäre und unter Abdestillieren des gebildeten Wassers dargestellt. Ausbeuten, Smp. und analytische Daten: s. Tab. Z 5-Z 7.

Die als Ausgangsprodukte benötigten Aldehyde sind aus den entsprechenden Brommethylverbindungen durch mehrstündigem Erhitzen unter Rückfluss mit Hexamethylentetramin in Chloroform und Verseifung der quarternären Ammoniumsalze mit 50proz. Essigsäure nach [8] erhältlich. Ausbeuten, Smp. und analytische Daten: s. Tab. Z 5-Z 7.

Die Brommethylverbindungen ihrerseits können durch mehrstündigem Erhitzen unter Rückfluss der entsprechenden *p*-tolylsubstituierten Heterocyclen (s. [1], [2]) mit N-Bromsuccinimid und katalytischen Mengen Benzoylperoxid oder α, α' -Azo-isobutyronitril in Tetrachlorkohlenstoff nach [8] gewonnen werden. Ausbeuten, Smp. und analytische Daten: s. Tab. Z 5-Z 7.

Tabelle Z 5.

2-[4-(*p*-Chlorphenyliminomethyl)-
phenyl]-2H-benzotriazol (Z 25)

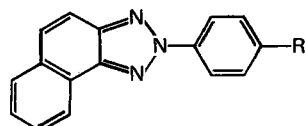


und Vorstufen

I	II (R)	III	IV	V	VI
Z 23	CH ₂ Br	73,8 44,9	6 N	173,5–175 1	C ₁₈ H ₁₀ BrN ₃ (288,15) C 54,19 H 3,50 N 14,58 C 53,96 H 3,57 N 14,26
Z 24	CH=O	79,4 52,7	6 K	207–208 1	C ₁₈ H ₉ N ₃ O (223,23) C 69,94 H 4,06 O 7,17 C 69,87 H 4,13 O 7,17
Z 25	CH = N- 	83,6 63,3	7 B	208–209 1	C ₁₈ H ₁₃ ClN ₄ (332,80) C 68,57 H 3,94 N 16,84 C 68,35 H 4,02 N 16,60

Tabelle Z 6.

2-[4-(*p*-Chlorphenyliminomethyl)-
phenyl]-2H-naphtho[1,2-d]triazol (Z 28)



und Vorstufen

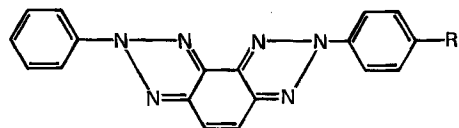
I	II (R)	III	IV	V	VI
Z 26	CH ₂ Br	85,7 62,5	6 N	235–236 ³⁾ 3	C ₁₇ H ₁₂ BrN ₃ (338,21) C 60,37 H 3,58 N 12,42 C 60,37 H 3,58 N 12,58
Z 27	CH=O	82,5 48,4	6 K	203–204 ⁴⁾ 10	C ₁₇ H ₁₁ N ₃ O (273,28) C 74,71 H 4,06 O 5,85 C 74,73 H 4,15 O 6,12
Z 28	CH = N- 	93,3 89,2	3 N	223–224 3	C ₂₃ H ₁₅ ClN ₄ (382,85) C 72,16 H 3,95 N 14,63 C 72,03 H 4,05 N 14,71

³⁾ Smp. 230–233° [8].

⁴⁾ Smp. 207–208 [8].

Tabelle Z 7.

2-[4-(*p*-Chlorphenyliminomethyl)-
p-phenyl]-7-phenyl-*benzo*[1,2-d:3,4-
d]bis-triazol (Z 31)



und Vorstufen

I	II (R)	III	IV	V	VI
Z 29	CH ₂ Br	95,4 70,5	2 N + B	263–265 3	C ₁₉ H ₁₈ BrN ₆ (405,26) C 56,31 H 3,23 N 20,74 C 56,50 H 3,36 N 20,87
Z 30	CH=O	92,8 68,4	6 K	300–301 3	C ₁₉ H ₁₂ N ₆ O (340,35) C 67,05 H 3,55 O 4,70 C 67,00 H 3,75 O 4,83
Z 31	CH = N-	68,6 48,0	6 K	268–269 3	C ₂₅ H ₁₆ ClN ₇ (449,91) C 66,74 H 3,58 N 21,79 C 66,45 H 3,63 N 21,71

LITERATURVERZEICHNIS

- [1] A. E. Siegrist, Helv. 55, 2893 (1972).
- [2] A. E. Siegrist, Helv. 50, 906 (1967).
- [3] M. Brunold & A. E. Siegrist, Helv. 55, 818 (1972).
- [4] A. E. Siegrist & R. Zweidler, Helv. 55, 2300 (1972).
- [5] M. Hirano & E. Hamada (Daito Chemical Industry Co.), Jap. Pat. Publ. 70-09911 (Jap. Prior. 13. 7. 1964).
- [6] T. Tanaka (Nippon Kayaku Co.), Jap. Pat. Publ. 68-11243 (Jap. Proir. 23. 10. 1964); M. Sumitani & K. Iwata (Nippon Kayaku Co.), Jap. Pat. Publ. 71-03829 (Jap. Prior. 22. 3. 1966).
- [7] J. Okada, S. Imahori & M. Hayakashi (Mitsubishi Chemical Industries Co.), Jap. Pat. Publ. 69-14707 (Jap. Prior. 28. 6. 1966).
- [8] R. A. Jeffreys & D. A. Thomas (Eastman Kodak Co.), US. Pat. 3674493 (US. Prior. 3. 4. 1970).
- [9] A. E. Siegrist (CIBA-GEIGY AG), Schweiz. Patentanmeldungen 70-14 514 und 70-14 515 vom 1. 10. 1970.
- [10] M. Dünnenberger, E. Maeder, A. E. Siegrist & P. Liechti (CIBA), US. Pat. 3095422 (Schweiz. Prior. 23. 9. 1959).
- [11] M. S. Bloom & J. A. Hill (Eastman Kodak Co.), US. Pat. 3458506 (US. Prior. 31. 10. 1967).
- [12] E. Matter (CIBA), Schweiz. Pat. 484930 (Schweiz. Prior. 25. 8. 1967).
- [13] F. Tiemann & M. Krüger, Ber. deutsch. chem. Ges. 17, 1685 (1884).
- [14] A. E. Siegrist (CIBA), Franz. Pat. 1223540 (Schweiz. Proir. 7. 2. 1958).